



رفع اعوجاج هندسی متن به کمک اطلاعات هندسی خطوط متن

* محمد امین طلوع بیدختی و علیرضا احمدی فرد*

دانشکده مهندسی برق، گروه الکترونیک، دانشگاه صنعتی شهرود، شهرود، ایران



چکیده

تصاویر سند تهیه شده توسط پویش گر یا دوربین دیجیتال، همواره با اعوجاج های فتومتربیک و هندسی همراه هستند. وجود هر دو نوع اعوجاج، باعث کاهش دقت عملکرد نرم افزارهای شناسایی نویسه ها (OCR) می شوند. در این مقاله روشی نوین جهت رفع اعوجاج های هندسی از تصاویر متنی ارائه شده است. در روش پیشنهادی به منظور تصحیح اعوجاج هندسی، در ابتدا خطوط متن از تصویر استخراج و سپس هر خط متن به ستون هایی به عرض مساوی شکسته می شوند. برای هر قطعه استخراج شده از یک خط، راستای قطعه به نحوی تصحیح می شود که حروف موجود در آن قطعه در راستای افقی قرار گیرد. برای این منظور به ازای چرخش های مختلف قطعه متن، افکنش افقی تصور محاسبه می شود و چرخشی از قطعه که بلندترین قله افکنش را ایجاد کند، راستای تصحیح شده آن قطعه در نظر گرفته می شود. بر این اساس یک نقطه مرجع که معرف راستای مینا است، برای هر قطعه خط هم راستاشده با افق استخراج می شود. به کمک نقاط مرجع، هر قطعه از خط، انحنای آن خط متن به کمک برازش یکتابع درجه سه به دست می آید. درنهایت با استفاده از تخمین تبدیل پرسپکتیو، اعوجاج هندسی هر خط بر طرف می شود. جهت افزایش پایداری روش پیشنهادی در تخمین انحنای خطوط متن با طول کم، از انحنای خطوط با طول بزرگ تر مجاور آن خط استفاده شده است. روش پیشنهادی بر روی پایگاه های داده فارسی و انگلیسی پیاده سازی و با برخی روش های هم تراز آن مقایسه شده است. نتایج بیان گر قدرت و دقیقی روش پیشنهادی در رفع اعوجاج هندسی است.

واژگان کلیدی: اعوجاج هندسی، پردازش دوبعدی اسناد، تخمین تبدیل پرسپکتیو، نویسه خوان نوری

Document Image Dewarping using geometrical information extracted from document lines

Mohammad Amin Tolou Beydokhti & Alireza Ahmadifard*

Department of Electronic, Faculty of Electrical, Shahrood University of Technology, Shahrood, Iran

Abstract

Document images produced by scanners or digital cameras usually have photometric and geometric distortions. If either of these effects distorts document, recognition of words from such a document image using OCR is subject to errors. In this paper we propose a novel approach to significantly remove geometric distortion from document images. In this method first we extract document lines from document using morphological operators. Then, extracted document lines are divided into a number of equal size column strips.

This allows to assume that each segment of line document is not curved. Each extracted document line segment is aligned horizontally. For this purpose, a segment line of document is rotated at different angles and for each rotation horizontal projection is obtained. The rotation angle with maximum peak at the corresponding projection signal is selected to align the line segment, horizontally. In order to estimate the

* Corresponding author

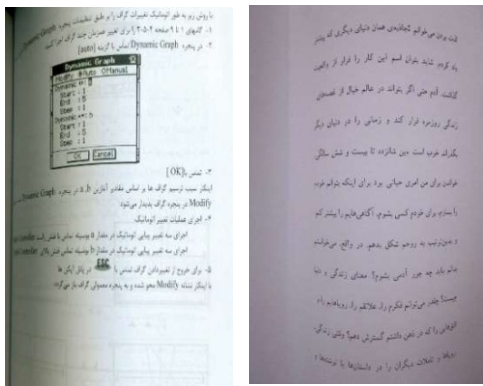
نویسنده عهده دار مکاتبات

geometrical distortion, for each document line a reference point is extracted from each line segment. These points indicate the position of a document line at starting column of line segments. Using reference points of a document line a polynomial function is fitted to each document line. At the end, geometric distortion for each part of the document is eliminated using a perspective transformation.

This transformation is estimated based on the extracted polynomial function. To increase the stability of the proposed method for short text lines, the curve of adjacent text lines of longer length is used. A post processing stage is required after applying perspective transformation on document patches. Since this transformation is a continuous mapping but it is applied on digital images. To remove this distortion from the result, the consistency of each pixel value with the value of neighboring pixels are considered to correct the value of inconsistence pixels.

The proposed method is implemented on Persian and English databases and has been compared with the existing methods. The results indicate the efficiency and accuracy of the proposed method in elimination of geometric distortions.

Keywords: Geometric distortion, document processing, perspective Transformation, Optical character recognition (OCR)



(شکل-۱): دو نمونه از تصویر استاد اعوجاج فتومنتریک و هندسی

(Figure-1): Two document image samples with photometric and geometric distortion

به خمیدگی ایجادشده در راستای خطوط سند یا کجی سند که هنگام پویش کردن یا عکسبرداری در تصویر ایجاد می‌شود، «اعوجاج هندسی» می‌گویند. علت اصلی این اعوجاج، انحنای برگه‌های سند ناشی از قطر کتاب یا کچ قرار گرفتن سند در زمان پویش یا عکسبرداری است. این دو نوع اعوجاج علت اصلی تشخیص اشتباه کلمات در نرم‌افزارهای رایج OCR هستند.

هدف این مقاله رفع اعوجاج هندسی از متون تصویربرداری شده است؛ بنابراین فرض بر این است که تصاویر ورودی بدون اعوجاج فتومنتریک بوده و یا این اعوجاج به کمک روش‌های رایج مثل روش نیپلک، روش ساولا یا روش حذف سایه به کمک درون‌نگاری بهبود یافته از تصاویر حذف شده است. همچنین به منظور بهبود کیفیت تصویر

۱- مقدمه

تصاویر متنی که به عنوان داده اولیه برای سامانه OCR مورد استفاده قرار می‌گیرند، توسط اسکنرها و دوربین‌های دیجیتال تهییه می‌شوند. علاوه بر آن، با پیشرفت فناوری دوربین تلفن‌های همراه، استفاده از آن‌ها به منظور عکس‌برداری از متون و استاد افزایش یافته است. با توجه به مشکلات عکس‌برداری با روش‌های ذکر شده، نیاز به بازسازی تصاویر بیش از پیش احساس می‌شود؛ چرا که بدون بهبود کیفیت آن‌ها عملکرد دستگاه‌های OCR جهت بازسازی متون بسیار ضعیف است.

در شکل (۱)، دو نمونه از اسناد الکترونیکی که نیاز به بازسازی دارند، نشان داده شده است. اگرچه این مشکلات در دستگاه بینایی انسان قابل چشم‌پوشی بوده و برای انسان بازشناختی متن امکان‌پذیر است، اما برای پردازش‌های رایانه‌ای از جمله تشخیص^۱، تحلیل^۲ و بازشناختی^۳ مشکل ایجاد می‌کنند.

به سایه ایجادشده در تصویر متن که با توجه به نورپردازی غیریکنواخت در تصویر ایجاد می‌شود، «اعوجاج فتومنتریک» گفته می‌شود. علت رخدادن اعوجاج فتومنتریک قطعه‌بودن کتاب در هنگام پویش کردن یا توزیع غیریکنواخت منابع نوری در صحنه حاوی متن بوده که سبب ایجاد سایه در تصویر شده است.

¹ Understanding

² Analysis

³ Recognition

ماسالوویج و همکارانش روشی به نام ^۲(SKEL) را معرفی کرده‌اند که در آن با استفاده از ^۳پیکربندی تصویر یا اسکلت تصویر به رفع اعوجاج هندسی پرداخته‌اند. در این روش ابتدا پیکربندی تصویر ساخته می‌شود؛ سپس شاخه‌ها بر اساس طول و زاویه آن‌ها به دو دسته افقی و عمودی تقسیم‌بندی شده و شاخه‌های افقی، فیلتر می‌شوند. با این کار تنها شاخه‌هایی باقی می‌مانند که بین دو خط نوشتاری قرار گرفته‌اند. درنهایت با تخمین منحنی بیزرسی ^۴ تصویر سند مدل‌سازی می‌شود. از معایب این روش این است که اگر در به‌دست‌آوردن اسکلت تصویر، به‌خصوص تخمین مرز عمودی تصویر، خطابی رخ دهد، کیفیت تصویر خروجی تا حد بسیار زیادی کاهش پیدا می‌کند [14].

در روش گتوس که به روش ^۵(SEG) نیز معروف است؛ خمیدگی هر کلمه به‌تهاایی توسط شب آن کلمه برطرف می‌شود؛ سپس با توجه به چپ‌ترین کلمه موجود در آن خط، همترازی عمودی صورت می‌گیرد. با درنظر گرفتن این نکته که در این روش تصحیح اعوجاج هر کلمه به‌طور مستقل انجام می‌شود، درنتیجه بعد از نگاشت هر کلمه، خطوط دچار بی‌نظمی خواهد شد، به‌گونه‌ای که کلمات به‌خوبی در یک راستا در خط قرار نمی‌گیرند؛ همچنین به‌علت اینکه سنجه‌ش زاویه هر کلمه با توجه به طول متفاوت آن‌ها به‌خصوص برای کلمات با طول کوتاه با خط‌ها مواجه می‌شود؛ لذا این امر به کاهش دقت این روش می‌انجامد [8].

ده بوید و همکارانش الگوریتمی جدید به‌منظور کاهش چرخش سه‌بعدی در تصاویر متون فارسی تصویربرداری شده توسط دوربین، معرفی کرده‌اند. در این الگوریتم، روشی مقاوم برای تعیین خطوط کرسی بالا و پایین کلمات پیشنهاد شده است که از آن برای تعیین شبیب کلمات استفاده می‌شود. از معایب این روش می‌توان به تخریب شکل نهایی کلمات در خط اشاره کرد [4].

خسری راد الگوریتمی جدید جهت رفع اعوجاج چرخش سه‌بعدی در تصاویر استناد فارسی پیشنهاد داده است. در این روش اعوجاج هندسی با استفاده از رفع چرخش کلمات بر اساس شبیب منحنی خط گذرنده از آن کلمه برطرف می‌شود. از معایب این روش می‌توان به تخریب

ورودی نیز می‌توان از روش بهسازی تصویر با کاهش اثر عوامل خرابی بر مؤلفه روشنایی و بازتابش تصویر استفاده کرد [18], [6] و [2].

در سال‌های اخیر روش‌های متعددی در زمینه رفع اعوجاج هندسی پیشنهاد شده‌اند. این روش‌ها به دو دسته کلی تقسیم می‌شوند. دسته نخست تکنیک‌های مبتنی بر بازسازی به کمک مدل سه‌بعدی اعوجاج هندسی تصاویر متن و دسته دوم تکنیک‌هایی هستند که اعوجاج هندسی از روی مشخصه‌هایی از متن تخمین‌زده و سپس اقدام به رفع آن می‌شود.

در برخی از روش‌های دسته نخست دانستن اطلاعات اولیه در مورد نوع پویش‌گر و همچنین سامانه نورپردازی مورد نیاز است؛ که البته این اطلاعات همیشه در دسترس نیست. در برخی دیگر از این روش‌ها با مدل‌کردن سطح صفحه متن به سطحی استوانه‌ای شکل به رفع این اعوجاج پرداخته می‌شود که البته این روش‌ها، با توجه به این نکته که نوع پیچش صفحه همیشه استوانه‌ای شکل نیست، جامع نیستند.

اولگس و همکارانش به رفع اعوجاج هندسی از تصاویر گرفته‌شده توسط دوربین‌های دیجیتال پرداخته‌اند. در این روش با توجه به مدل‌سازی سه‌بعدی ثابت از صفحه، به رفع اعوجاج هندسی پرداخته می‌شود [22].

لیانگ و همکارانش روشی برای یک‌سوسازی اعوجاج‌های ناخواسته معرفی کرده‌اند که در آن با به‌وجودآوردن یک مدل استوانه‌ای سعی در تخمین شکل سه‌بعدی صفحه متن شده است. یک محدودیت اساسی این روش فرض مدل هندسه‌ای استوانه برای صفحه متن است [11].

وادا و همکارانش روش دیگری را معرفی کردند که در آن از روش شکل به کمک سایه^۱ استفاده می‌شود تا شکل سه‌بعدی سطح متن را بازسازی کند. از معایب این روش نیاز به مشخص‌بودن اطلاعاتی در مورد الگوی پخش نور محیط است که این اطلاعات، به‌طور معمول در دسترس نیست [23].

دسته دوم، روش‌های مبتنی بر شناسایی اعوجاج هندسی از روی متن هستند که در این روش‌ها از روی انحنای خطوط، اعوجاج هندسی صفحه تخمین‌زده می‌شود و با یک نگاشت معکوس، متن دارای اعوجاج را می‌توان اصلاح کرد.

² Skeletonization

³ Image skeleton

⁴ Cubic Bezier curves

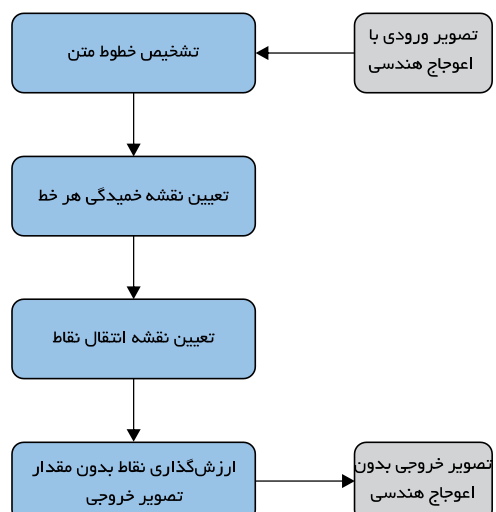
⁵ Segmentation

¹ Shape from Shading

دوربین دیجیتال یا پویش‌گر و طریقه قرارگرفتن سند نسبت به سامانه تصویربرداری، نیازی نیست. روش پیشنهادی مبتنی بر استخراج خطوط است؛ به‌گونه‌ای که انحنای هر خط از بالا به پایین مشخص شده و پس از رفع اعوجاج هندسی هر خط، کار برای خطوط بعدی دنبال می‌شود.

در شکل (۲) روندnamای کلی روش پیشنهادی به‌منظور رفع اعوجاج هندسی نشان داده شده است. طبق این روندnam در مرحله نخست خطوط متن استخراج شده، سپس نقشه خمیدگی هر خط از متن مشخص می‌شود؛ در مرحله بعد، روشی جهت انتقال نقاط انجام شده و در مرحله آخر هر نقطه از تصویر سند که مقداردهی نشده، بر اساس نقاط همسایه آن تخمین زده می‌شوند.

در این مقاله از دو پایگاه داده خسروی راد برای اسناد فارسی و پایگاه داده DFKI برای اسناد لاتین استفاده شده است [19]، [3].



(شکل-۲): روندnamای روش پیشنهادی رفع اعوجاج هندسی
(Figure-2): Flowchart of the proposed method for removing geometric distortion

۲-۱-تشخیص خطوط متن

روش‌های زیادی به‌منظور تشخیص خطوط متن وجود دارد. یکی از روش‌هایی که هم از لحاظ سرعت و هم از لحاظ دقّت، رفتار قابل قبولی دارد، روش مبتنی بر عمل‌گر ریخت‌شناسی گسترش است. در این روش تصویر ورودی می‌باشد بدون نویه و به‌صورت دوسطحی باشد [24]، [13] و [12].

با توجه به این نکته که متون فارسی برخلاف متون انگلیسی از سمت راست شروع شده، از آینه افقی تصاویر متن فارسی، به عنوان داده ورودی استفاده می‌شود. با این کار تمام مراحل برای اسناد فارسی مشابه اسناد انگلیسی است. الگوریتم کلی به‌صورت زیر بیان می‌شود:

شکل نهایی کلمات در اثر چرخش، تغییر در اندازه حروف و دقّت پایین در رفع اعوجاج اشاره کرد [3].

شاملی روی برای رفع اعوجاج هندسی پیشنهاد کرده است. در این روش از تخمین خمیدگی خطوط در بالا و پایین صفحه و با انتقال سطح خمیده سند به سطح مستطیلی شکل اعوجاج هندسی تصویر برطرف می‌شود. البته این به‌علت انتقال تمام نقاط تصویر روشی زمان‌بر است. در جدول (۱) به‌صورت خلاصه روش‌های مروری ذکر شده بررسی شده‌اند [20]، [5].

از میان روش‌های بازشناسی کلمات فارسی نیز می‌توان به روش بایسته و همکاری‌ش اشاره کرد که در این روش علاوه‌بر معرفی یک الگوریتم دو مرحله‌ای برای بازشناسی کلمات، روشی جدید جهت استخراج ویژگی از هیستوگرام گرادیان تصویر معرفی شده است [1].

ساختار مقاله در ادامه بدین صورت است: در بخش دوم روش پیشنهادی به‌منظور رفع اعوجاج هندسی معرفی می‌شود؛ پس از آن در بخش سوم نتایج روش پیشنهادی با روش‌های رایج مقایسه می‌شود و در بخش چهارم به جمع‌بندی و پیشنهاد برای ادامه کار پرداخته شده است.

(جدول-۱): توصیف مختصر روش‌های مرورشده

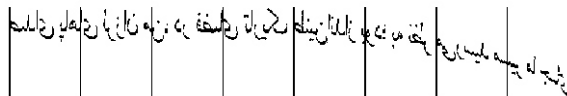
(Table-1): A brief description for the reviewed methods

مشکل اصلی	روش
فرض مدل سه‌بعدی ثابت از صفحه متن	اولگس [22]
فرض مدل هندسه‌ای استوانه صفحه متن	لیانگ [11]
نیاز به مشخص بودن اطلاعاتی در مورد الگوی پخش نور محیط	وادا [23]
حساسیت در پیکره‌بندی تصویر سند	ماسالوویچ [14]
تخرب در قرارگیری شکل حروف در خط	گنوس [8] روش با استفاده
تخرب شکل نهایی کلمات در خط	د بوید [4]
تخرب شکل نهایی کلمات در خط	خسروی راد [3]
زمان بالای اجرا	شاملی [20]

۲-روش پیشنهادی رفع اعوجاج هندسی

در روش پیشنهادی برای رفع اعوجاج هندسی، تنها به اطلاعات دو بعدی موجود در سند نیاز است؛ لذا به مشخصات

نوارها بستگی به میزان انحنای خطوط دارد و بر روی هر مجموعه داده متفاوت است. عرض مناسب بر روی پایگاه‌های داده مورداستفاده در این پژوهش، به صورت تجربی مقداری بین ۱۵۰ تا ۲۵۰ پیکسل به دست آمده است. با توجه به تعداد ستون‌های تصویر، عرض آخرین نوار ممکن است از بقیه نوارها کوچک‌تر باشد. در شکل (۴) یک نمونه از این تقسیم‌بندی نشان داده شده است.



(شکل-۴): شکستن یک خط از متن به نوارهای عمودی
(Figure-4): A document line is broken into vertical stripes

۲-۲-۲-۲- افکنش افقی گرادیان تصویر قطعات شکسته شده و یافتن مختصات بیشترین

مقدار روی منحنی افکنش

به منظور پیدا کردنتابع انحنای هر خط از متن، خط مبنابرای هر یک از نوارهای عمودی مربوطه تخمین زده می‌شود. برای این منظور بیشینه مقدار تابع افکنش افقی گرادیان متن محاسبه شده است. برای حصول نتیجه بهتر ابتدا هر نوار در بازه $\alpha^1 - \alpha + \alpha$ چرخانده شده و زاویه‌ای که طبق آن حروف نوار عمودی، در راستای افقی قرار می‌گیرند، در نظر گرفته می‌شود.

در شکل (۵) چند نمونه از چرخش‌ها نشان داده شده است. با توجه به این نکته که نگارش یک خط از متن فارسی بر روی خط مبنای انجام می‌شود، می‌توان نتیجه گرفت که در اثر چرخش متن نوار عمودی با زاویه‌های مختلف، زاویه‌ای که طبق آن بیشینه مقدار نمودار افکنش افقی با تابع شدت روشناکی از بقیه بزرگ‌تر باشد، زاویه‌ای است که طبق آن متن نوشته شده داخل نوار در ترازترین حالت ممکن خود است. مختصات نقطه بیشینه در این حالت، نشان‌گر خط مبنای برای نوار عمودی مربوطه در تصویر است؛ اما در اسناد انگلیسی با توجه به این نکته که حروف اغلب بین دو خط نوشته می‌شوند، بر اثر چرخش، زمانی نوار در ترازترین حالت قرار می‌گیرد که مختصات بیشینه نمودار افکنش افقی بر روی یکی از دو خطوط مبنای قرار گیرد.

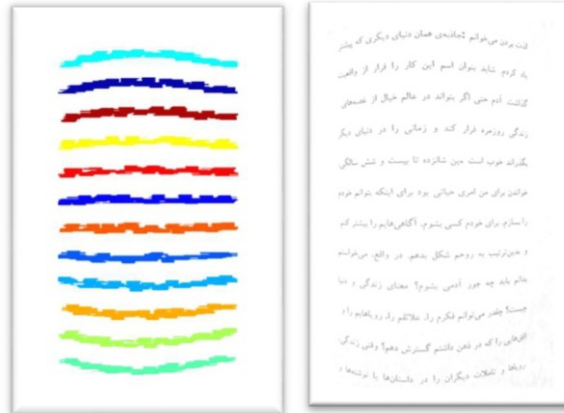
محدوده مورد انتظار چرخش^۱

- قرینه تصویر ورودی محاسبه می‌شود.

- عمل گر ریخت‌شناسی گسترش با یک جزء ساختاری مناسب به تصویر قرینه شده اعمال می‌شود.

- نقاط بهم‌چسبیده توسط روش اجزای بهم‌متصل تشخیص داده می‌شوند.

با انجام دادن این مراحل، ماسک موردنیاز بهمنظور تشخیص خطوط تولید می‌شود. در شکل (۳) یک نمونه ماسک تولید شده توسط این روش نشان داده شده است.



(شکل-۳): ماسک تولیدی جهت استخراج خطوط متن
(الف) تصویر ورودی ب) ماسک تولید شده

(Figure-3): The produced mask to extract document lines A)
input image B) the produced mask

۲-۲-۲- تعیین نقشه خمیدگی هر خط

یکی از اصلی‌ترین مرحله‌های رفع اعوجاج هندسی، مرحله تشخیص نقشه خمیدگی سند است. در این مرحله هدف، مشخص کردن انحنای هر خط است. این مرحله خود از چند گام اساسی تشکیل شده است:

- شکستن هر خط به نوارهای عمودی
- افکنش افقی گرادیان تصویر قطعات شکسته شده و یافتن مختصات بیشترین مقدار روی منحنی افکنش
- برآذش یک منحنی درجه سه بر نقاط مشخص شده از هر خط

در ادامه این مراحل تشریح شده‌اند.

۲-۲-۱- شکستن هر خط به نوارهای عمودی

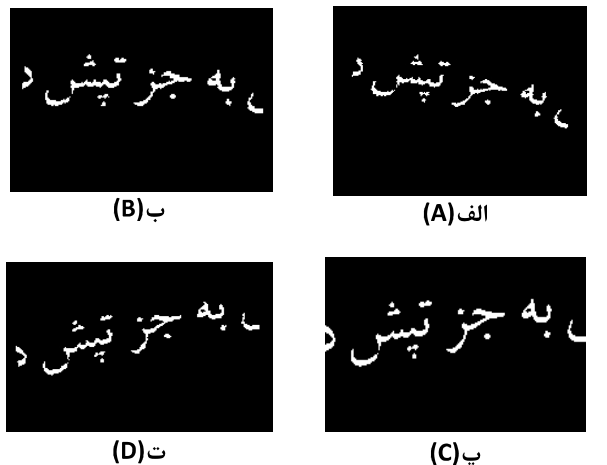
در این گام هر خط استخراج شده به نوارهایی با فاصله مساوی تقسیم می‌شود. این عمل به منظور شکستن خط دارای انحنای به قطعاتی است که به دلیل کوتایبودن، از انحنای آن می‌توان صرف‌نظر کرد. این نوارها با شروع از سمت چپ تصویر آغاز شده و تا انتهای ادامه پیدا می‌کند. اندازه عرض

گرادیان قطعه انجام شود، باز هم خط مبنا در نمودار افکنش افقی ایجاد قله می‌نماید پس از بدست آوردن بهترین زاویه، مقدار گرادیان عمودی تصویر چرخانده شده را محاسبه کرده و این بار عملیات افکنش افقی بر روی گرادیان تصویر انجام می‌شود. درنهایت مختصاتی که نمودار افکنش گرادیان در آن بیشینه مقدار را دارد، ذخیره می‌شود.

در شکل (۷) نتیجه این عملیات مشاهده می‌شود. بیشینه مقدار نمودار افکنش افقی در سطر ۱۶۶ ام اتفاق افتاده است؛ بنابراین این نقطه، به عنوان سطر مربوط به خط مبنا در نظر گرفته می‌شود؛ اما نکته مهم در این بین، این است که برای چرخش، اندازه تصویر نوارهای عمودی هم در راستای ستون‌ها و هم در راستای سطراها افزایش می‌یابد. در نتیجه نقطه به دست آمده نسبت به مقدار آفست است؛ لذا مختصات نقاط مرجع به دست آمده در نوارهای عمودی ترازو شده می‌باشد به مختصات واقعی آن در تصویر ورودی نگاشته شود؛ به منظور حذف آفست مراحل زیر پیشنهاد می‌شود:

- ۱- جهت چرخش (علامت زاویه چرخش) تعیین شود.
- ۲- اندازه تعداد سطراها و تعداد ستون‌های نوار اصلی و نوار چرخانده شده تعیین شود.

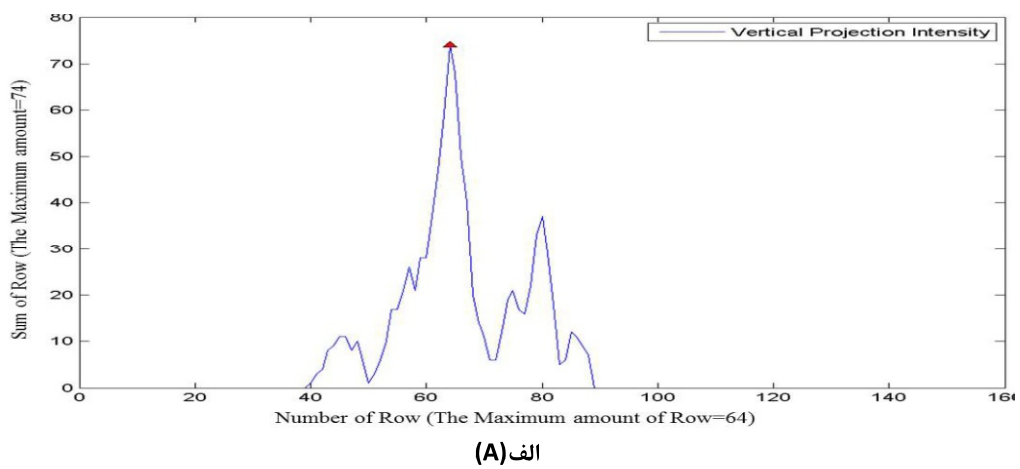
۳- بر اساس زاویه چرخش نقطه یادشده محاسبه شود.
با توجه به شکل (۸)، زاویه چرخش را با θ و تعداد سطراها و تعداد ستون‌های نوار اصلی را به ترتیب با m و n و تعداد سطراها و تعداد ستون‌های نوار چرخانده شده را به ترتیب با M و N نشان می‌دهیم: $(M \geq n)$ و $(N \geq m)$. هدف پیدا کردن تصویر نقطه مرجع A (که از افکنش افقی در مرحله قبل به دست آمد) بر روی نوار چرخانده شده (A') و یافتن $|A'B'| = |BA'|$ فاصله است.

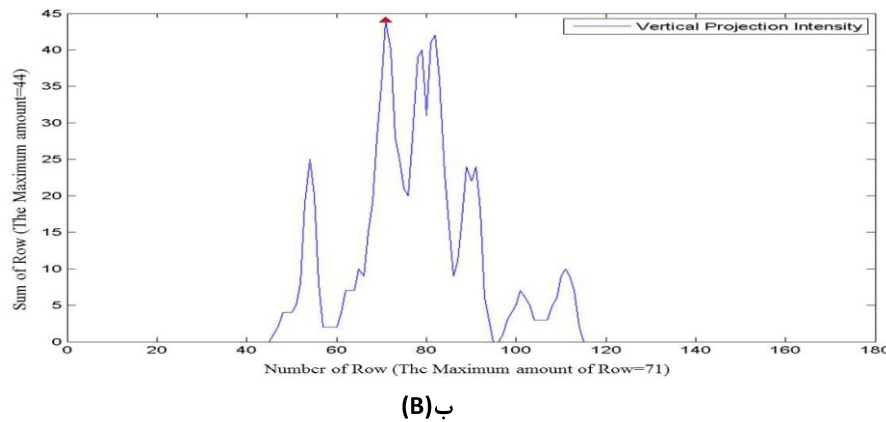


(شکل-۵): چرخش بخشی از خط با زاویه‌های مختلف
الف) چرخش با زاویه -۱۶ درجه (ب) چرخش با زاویه -۸ درجه
پ) چرخش با زاویه ۸ درجه (ت) چرخش با زاویه ۱۶ درجه

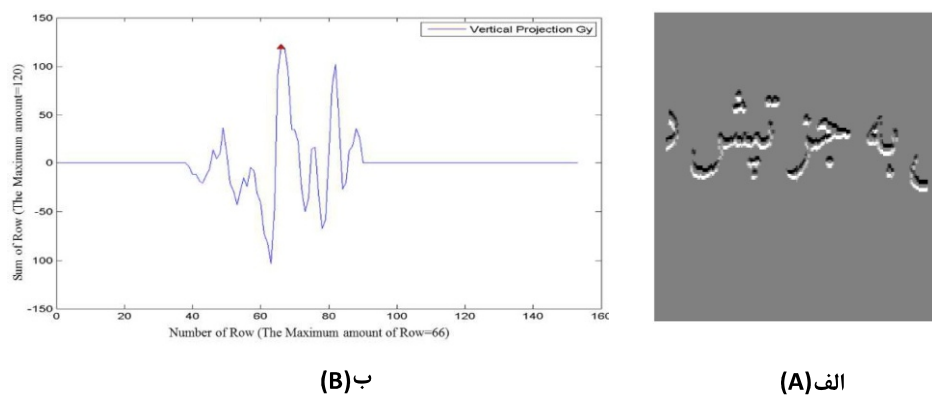
(Figure-5): Rotation of a line segment at different angles. A) -16 degrees B) -8 degrees C) +8 degrees D) +16 degrees

با مشاهده نمودارهای شکل (۶) متوجه می‌شویم که با چرخش نوار به اندازه زاویه -۸ درجه، متن در نوار عمودی ترازو می‌شود. این زاویه از بیشینه مقدار نمودارهای افکنش به دست می‌آید؛ زیرا این مقدار برای زاویه -۸ درجه برابر با ۷۴ بوده در حالی که برای سایر زاویه‌ها از مقدار ۷۴ کوچک‌تر است؛ اما مشکل این روش زمانی است که حروف پایین‌روندۀ ای مثل «ر»، «ز» یا «و» پشت سر هم قرار گرفته و یا تعداد حروف کمی در یک قطعه از نوار عمودی قرار گیرند. در این صورت قله‌ی نمودار افکنش افقی تصویر قطعه، خط مبنا را به درستی تعیین نمی‌کند.
اگر عملیات افکنش افقی به جای تصویر قطعه بر روی

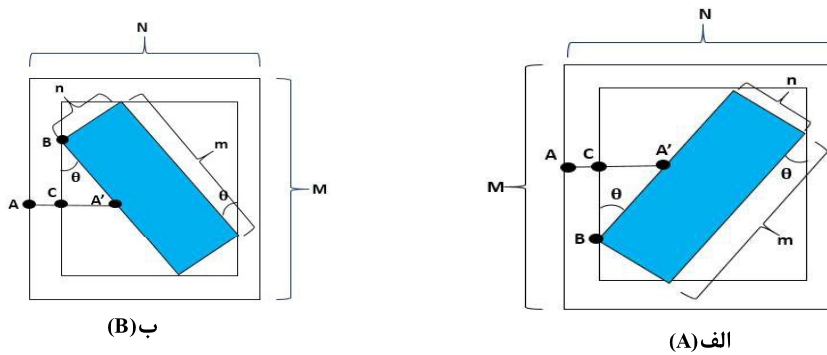




(شکل-۶): نمودار افکنش افقی شدت روشنایی تصویر (الف) زاویه چرخش -۸ درجه A) زاویه چرخش -۱۶ درجه B)
(Figure-6): Vertical projection of a line segment for two different rotations A) -8 degrees B) -16 degrees.



(شکل-۷): نمودار افکنش افقی گرادیان (الف) گرادیان تصویر ب) نمودار افکنش افقی گرادیان
(Figure-7): Vertical projection gradient graph A) image gradient B) vertical projection gradient



(شکل-۸): تغییر اندازه تصویر برای چرخش (الف) چرخش به سمت راست ($\theta > 0$) ب) چرخش به سمت چپ ($\theta < 0$)

(Figure-8): Image rotation A) rotation to the right $\theta > 0$ B) rotation to the left $\theta < 0$

C با این فاصله از B ایجاد شده است. در این صورت مثلث A'CB مثلثی قائم الزاویه بوده و اندازه وتر آن طبق رابطه (۱) به دست می آید.

$$|AB| = \frac{|BC|}{\cos(\theta)} \quad (1)$$

در رابطه (۱) مقدار θ برابر با زاویه چرخش است که در مرحله قبلی به دست آمده بود و مقدار $|BC|$ نیز طبق

برای این منظور یک ماتریس با ابعاد نوار عمودی اصلی با مقادیر یک ایجاد کرده و به اندازه θ چرخانده می شود. برای چرخش تعدادی سطر و ستون با ارزش پیکسل های پس زمینه (مشکی) به تصویر اضافه خواهد شد.

از سمت چپ تصویر شروع کرده و به ازای ستون های مختلف نخستین سطری که دارای پیکسل سفیدرنگ (روشنایی قلم) است، نقطه مرجع (B) نام گذاری می شود. فاصله عمودی نقطه A تا نقطه B را محاسبه کرده و نقطه

همان طور که در شکل (۹-ب) مشخص است با به دست آوردن نقطه انتهایی هر خط به تشخیص صحیح انحنای خطوط در مراحل بعدی کمک شده است.

۲-۲-۳- برازش یک منحنی درجه سه بر نقاط مشخص شده از هر خط

برای تخمین خمیدگی هر خط از تقریب چندجمله‌ای درجه سه استفاده می‌کنیم. چندجمله‌ای درجه سه با رابطه (۲) مشخص می‌شود. در این رابطه a_0 تا a_3 ضرایب چندجمله‌ای درجه سوم می‌باشند.

$$p(x) = a_3x^3 + a_2x^2 + a_1x + a_0 \quad (2)$$

با توجه به مجموعه نقاط مرجع به دست آمده به منظور برازش منحنی درجه سوم با این نقاط از روش چند جمله‌ای و ندرموند استفاده می‌شود. طبق این روش برازش تابع درجه سه به صورت رابطه (۳)، فرموله می‌شود [۱۷].

$$\begin{bmatrix} 1 & x_1 & x_1^2 & x_1^3 \\ 1 & x_2 & x_2^2 & x_2^3 \\ \vdots & \vdots & \vdots & \vdots \\ 1 & x_n & x_n^2 & x_n^3 \end{bmatrix} \begin{bmatrix} a_0 \\ a_1 \\ a_2 \\ a_3 \end{bmatrix} = \begin{bmatrix} y_1 \\ y_2 \\ \vdots \\ y_n \end{bmatrix} \quad (3)$$

در رابطه (۳) مقادیر (x_i, y_i) نقاط مرجع محاسبه شده در مرحله قبلی بوده و n نیز تعداد این نقاط است؛ بنابراین هدف محاسبه ضرایب چندجمله‌ای درجه سوم (a_0 تا a_3) برای هر خط است که طبق رابطه (۳) به راحتی قابل محاسبه است.

در شکل (۱۰) چند نمونه از منحنی‌های تخمین زده شده به وسیله این روش نشان داده شده است. همان‌طور که در این شکل‌ها مشاهده می‌شود، برای متون انگلیسی احنا بر روی خط مينا پایینی و برای متون فارسی این احنا بر روی خط مينا واقع می‌شود. همان‌طور که در قبل ذکر شد، از آینه افقی متون فارسی استفاده شده است.

اما نکته مهم در این قسمت این است که اگر طول یک سطر متن از حدی کمتر باشد، تعداد نقاط کمی جهت برازش منحنی درجه سه در دسترس است. این مسئله به تشخیص اشتباه انحنای خطوط کوتاه منجر می‌شود.

^۱ Vandermonde polynomial

روشی که در بند قبلی توضیح داده شد، مشخص است.

بنابراین مقدار \overrightarrow{AB} به سادگی محاسبه می‌شود.

با توجه به این نکته که نقطه B برای چرخش به سمت راست، در پایین صفحه و برای چرخش به سمت چپ، در بالای صفحه قرار دارد، بنابراین مختصات نقطه جدید برای چرخش به سمت راست $(X(A), m-\overrightarrow{A'B})$ و برای چرخش به سمت چپ برابر با $(X(A), |\overrightarrow{A'B}|)$ است. برای هر نوار، مراحل ذکر شده انجام می‌شود تا نقاط مرجع جهت تخمین انحنای هر خط به درستی به دست آید.

نتایج تجربی اولیه نشان داد که به منظور تخمین دقیق‌تر انحنای خطوط لازم است که محل خط مينا در ستون انتهایی هر سطر متن در تخمین به کار گرفته شود. همچنان با توجه به تقسیم‌بندی هر خط به نوارهای عمودی که در شکل (۹) الف نیز نشان داده شده است، آخرین نقطه محاسبه شده تا انتهای خط فاصله قابل توجهی دارد که این مسئله باعث تشخیص اشتباه احنا در انتهای هر خط می‌تواند شود. به همین منظور پیشنهاد می‌شود یک نوار با طول برابر با سایر نوارها از سمت راست تصویر جدا کرده و تصویر آینه‌شده افقی در آن قرار بگیرد و مراحل طبق روال گذشته انجام شود و نقطه به دست آمده از نوار انتهایی آینه‌شده در آخرین ستون به دست بیاید.

نتیجه این مرحله در شکل (۹) نشان داده شده است. در این تصویر، در آخرین ستون نیز یک نقطه جهت تخمین احنا به دست آمده است. این امر به تخمین دقیق‌تر احنا در نوار انتهایی هر خط کمک خواهد کرد.

between one system and another (even if they are performing the same business)

الف (A)

between one system and another (even if they are performing the same business)

ب (B)

شکل (۹): پیدا کردن نقاط جهت تشخیص انحنای هر خط (الف) نتیجه روش پیشنهادی برای پیدا کردن نقاط جهت تشخیص احنا (ب) نتیجه روش پیشنهادی جهت یافتن نقطه پایانی

(Figure-9): Finding reference points to determine the curvature of each line A) the result of the proposed method for finding the reference points to estimate curvature B) the result of the proposed method for finding the ending points



- نگاشت قطعات چهارضلعی تشکیل‌دهنده خط متن به مستطیل در ادامه این بخش به توضیح هریک از این گام‌ها پرداخته می‌شود.

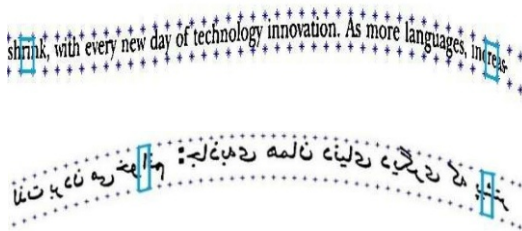
۱-۳-۲- قرار دادن هر خط متن بین دو منحنی

در این گام با توجه به انحنای به‌دست‌آمده برای هر خط متن، هر خط، بین دو منحنی بالایی و پایینی محصور می‌شود. به عبارت دیگر هدف این است که این دو منحنی حدود بالایی و پایینی خط متن را مشخص کنند؛ لذا برای این منظور کافی است طبق رابطه (۲)، دو منحنی درجه سه با ضرایب a_3 تا a_1 یکسان با ضرایب منحنی به‌دست‌آمده ایجاد کرده، ولی ضریب a_0 این دو منحنی با توجه به اینکه این دو منحنی فقط در راستای سطرها جایه‌جا شده‌اند، متفاوت است.

با مطالعه بر روی قلم‌های مختلف و بررسی اسناد گوناگون، فاصله بین دو منحنی بر اساس دو برابر بیشترین ارتفاع حروف در هر خط انتخاب شده و خط به‌گونه‌ای بین دو منحنی قرار می‌گیرد که به صورت کامل محصور شده است.

۱-۳-۲- شکستن ناحیه بین دو منحنی محصور کننده خط متن به تعدادی ستون

در این گام ابتدا باید ناحیه بین دو منحنی بالا و پایین یک خط متن را توسط خطوط عمودی با فاصله یکسان به نوارهای عمودی تقسیم کنیم. ناحیه بین دو ستون متوالی را از نوار متن یک چهارضلعی می‌توان فرض کرد. با محاسبه نقاط تلاقی خطوط عمودی با دو منحنی در واقع مختصات چهار رأس هر چهارضلعی به‌دست خواهد آمد. در شکل (۱۱) دو نمونه را از این چهارضلعی‌ها مشاهده می‌کنید.



(شکل-۱۱): نقاط رؤوس چهارضلعی‌ها (الف) متن انگلیسی (ب) متن فارسی

(Figure-11): The points of the quadrilateral vertices A)English text B) Persian text

به‌منظور رفع این مشکل پیشنهاد می‌شود؛ در مواردی که طول خطوط از یک‌سوم میانگین طول خطوط تصویر کمتر است، به جای انحنای به‌دست‌آمده، از انحنای خطوط مجاور بالا یا پایین که طول بیشتری دارند، جهت تشخیص انحنای آن خط استفاده شود.

between one system and another (even if they are performing the same business)

الف (A)

all because of web services Of course I've skimmed over all the hard parts but I'll

ب (B)

لطفاً بخوبی

ج (C)

(شکل-۱۰): نمونه‌هایی از تخمین انحنای خطوط الف و ب) متن انگلیسی (ج) متن فارسی (از آینه خط فارسی استفاده شده است).

(Figure-10): Examples for estimating the curvature of document lines A,B) English texts C) Persian text (Persian text has been mirrored)

۲-۳- تعیین نقشه انتقال نقاط

پس از مشخص شدن انحنای هر خط متن، هدف، تصحیح تصویر متن جهت رفع اعوجاج هندسی است. به همین منظور و با توجه به محل قرارگیری خطوط انحنا در گام نخست باید هر سطر متن را بین دو منحنی که در بالا و پایین سطر قرار گرفته و از انحنای سطر تبعیت می‌کنند، قرار داد؛ سپس سطر محصور شده بین منحنی‌ها به قطعات کوچکی شکسته می‌شود. در این صورت هر قطعه یک چهارضلعی بوده که با نگاشت تخمین تبدیل پرسپکتیو^۱ به یک مستطیل تبدیل می‌شود.

- [7,15]
- به‌طور خلاصه این گام‌ها به صورت زیر بیان می‌شوند:
 - قراردادن هر خط متن بین دو منحنی
 - شکستن ناحیه بین دو منحنی محصور کننده خط متن به تعدادی ستون

^۱ Perspective Transform Estimation

پیکسل نیز صفر می‌شود.

با اعمال گام‌های بالا تصویر خروجی تصحیح می‌شود. نتیجه اعمال این مرحله را در شکل (۱۳ب) نشان داده شده است.



(شکل-۱۳): پس‌پردازش بر روی نتیجه نگاشت یافته متن (الف) تصویر متن نگاشت یافته (ب) نتیجه پس‌پردازش پیشنهادی بر روی (الف)

(Figure-13): Post processing on transformed text image A) text image after transformation B) the result of proposed post processing on image (A)

۳- نتایج تجربی

بهمنظور مقایسه بهتر برای متون فارسی، نتایج روش پیشنهادی با نتایج دو روش شامقلى [5] خسروی‌راد [3] و برای متون لاتین نتایج روش پیشنهادی با نتایج سه روش شامقلى [20] ، SEG [14] و SKEL [8] مقایسه می‌شود.

در روش خسروی‌راد هر کلمه بر اساس میزان چرخش آن بهصورت جدا رفع اعوجاج می‌شود، البته تصویر خروجی این الگوریتم می‌تواند خاکستری یا دوستخی باشد. از جمله مشکلات این روش دقت پایین در رفع اعوجاج هندسی و جابه‌جایی بیش از حد حروف و نقاط از کلمه است. مشکلات روش شامقلى نیز که در بخش قبلی هم مورد بررسی قرار گرفت، عبارت بودند از:

۱- زمانی که تصاویر دارای خطوط غالب در بالا یا پایین تصویر نباشد، اعوجاج هندسی بهخوبی برطرف نمی‌شود.
۲- با توجه به اینکه رفع اعوجاج هندسی طبق این روش بر اساس میزان انحنای دو خط غالب در تصویر است، در موقعي که در طول تصویر انحنا چندین بار تغییر کند، اعوجاج هندسی بهخوبی برطرف نمی‌شود.

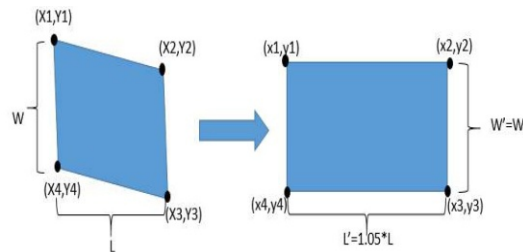
۳- با توجه به اینکه در این روش تمام نقاط تصویر انتقال پیدا می‌کنند (حتى نواحي پس‌زمینه که حاوی اطلاعات نیستند)، این الگوریتم زمان برخواهد بود.

بنابراین مهم‌ترین مشکل روش شامقلى پیچیدگی محاسباتی در نتیجه زمان بالاي اجرای اين روش است. در تصاویر پايگاه داده‌ي خسروی‌راد بهعلت درجه تفکيک‌پذيری

۲-۳-۳- نگاشت قطعات چهارضلعی تشکيل دهنده

خط متن به مستطيل

با بهدستآمدن مختصات چهار رأس چهارضلعی‌ها، می‌توان با استفاده از روش تخمين تبدیل پرسپکتیو^۱ به انتقال نقاط از چهارضلعی‌ها به مستطیلهای با مختصات چهار رأس مشخص شده پرداخت. با مشخص بودن مشخصات چهارضلعی مختصات چهار رأس مستطیل به‌گونه‌ای انتخاب می‌شود که عرض مستطیل با چهارضلعی برابر بوده و طول مستطیل ۱,۰۵ برابر طول چهارضلعی باشد؛ البته این ضریب به صورت تجربی بهدست آمده است. در شکل (۱۲) این موارد نشان داده شده است. درنتیجه این نگاشت اعوجاج هندسی خطوط برطرف می‌شود؛ البته برخی نقاط تصویر خروجی در این نگاشت مقداردهی نشده‌اند؛ که در گام بعدی با درون‌یابی مقدار آن‌ها تعیین می‌شود.



(شکل-۱۲): انتقال نقاط از چهارضلعی به مستطیل

(Figure-12): Transformation of the vertices from the quadrilateral to the rectangular

۴- ارزش گذاري نقاط بدون مقدار تصویر خروجی

با توجه به گسترش‌بودن تصاویر و برابر بودن تعداد پیکسل‌های چهارضلعی و مستطیل، نگاشت پیکسل‌های نواحی چهارضلعی به مستطیلهای یک‌به‌یک نیست؛ لذا نقاطی در تصویر نهایی وجود دارد که مقداردهی نمی‌شوند. این نقاط با مقدار یک، مقداردهی اولیه می‌شوند؛ به همین دلیل تصاویری با نقاط سفید زائد مطابق شکل (۱۳) ایجاد می‌شود. بهمنظور تصحیح مشکل بالا گام‌های زیر بر روی تصویر نهایی انجام می‌شود:

۱- مشخص کردن ستون‌هایی در تصویر که تمام مقادیر آن یک بوده، در این ستون‌ها اگر پیکسلی وجود داشت که دو همسایه سمت چپ و راست آن دارای مقدار صفر بود، مقدار پیکسل مذکور برابر با صفر می‌شود.

۲- در هر سطر اگر پیکسلی با مقدار یک وجود داشت که دو همسایه بالایی و پایینی آن مقدار صفر داشتند، مقدار آن

^۱ Perspective Transform Estimation



نرم‌افزارهای استفاده شده به خوبی قادر به تشخیص فرمول‌ها و نمادهای ریاضی نیستند، این عبارات در محاسبه لحاظ نشده‌اند.

(جدول-۳): دقّت شناسایی کلمات متون فارسی
(Table-3): The accuracy of word recognition on Persian texts

درصد دقّت شناسایی کلمات	روش
67.81793	روش خسروی‌راد [3]
86.73025	روش شامقلی [5]
86.9009	روش پیشنهادی

برای متون لاتین نتایج روشن پیشنهادی با نتایج سه روشن شامقلی [20] و SKEL [14] و SEG [8] مقایسه می‌شود. در روشن SEG، خمیدگی هر کلمه به تنها ی توسط شبیه آن کلمه بر طرف می‌شود. پس از آن با توجه به چپ‌ترین کلمه موجود در آن خط همترازی عمومی صورت می‌گیرد؛ با درنظر گرفتن این نکته که در روشن بالا تصحیح اعوجاج هر کلمه به طور مستقل انجام می‌شود؛ درنتیجه بعد از نگاشت هر کلمه، خطوط دچار بی‌نظمی‌های خواهد شد؛ به‌گونه‌ای که کلمات به خوبی در یک راستا قرار نمی‌گیرند؛ همچنین به‌علت اینکه سنجش زاویه هر کلمه با توجه به طول متفاوت آن‌ها به خصوص برای کلمات با طول کوتاه با خط مواجه می‌شود؛ لذا این امر به کاهش دقّت این روشن می‌انجامد.

ایده اصلی روشن SKEL بر اساس استخراج اسکلت بیرونی تصاویر متونی است. این روشن برخلاف روشن SEG قادر به بازیابی اجزای گرافیکی است؛ اما این روشن بسیار حساس به یافتن پیکربندی بوده و در صورت ایجاد خطأ در محاسبه آن، خروجی اعوجاج خواهد داشت.

با توجه به نتایج که در جدول (۴) برای متون لاتین آورده شده است، مشخص است که روشن پیشنهادی از دقّت قابل قبولی برخوردار است. برای سنجش این دقّت، تصاویر رفع اعوجاج شده توسط نرم‌افزار OmniPage به فایل متن تبدیل شده، سپس درصد دقّت (R) طبق رابطه (۶) محاسبه شده است. از بین ۱۵۶۸۱ کلمه تعداد ۹۷ کلمه اشتباه تشخیص داده شده است [25].

همان‌طور که در جدول (۴) مشاهده می‌کنید، دقّت روشن پیشنهادی نسبت به سایر روشن‌های مورد مقایسه بیشتر است؛ همچنین به‌منظور مقایسه به صورت کیفی دو نمونه از

بالای تصاویر این مشکل نمایان‌تر است. به‌منظور مقایسه سرعت اجرا، سرعت روشن شامقلی با سرعت روشن پیشنهادی در جدول (۲) آورده شده‌اند که البته این نتایج بر روی تصاویر پایگاه داده خسروی‌راد بوده که ابعاد تصاویر 3000×4000 پیکسل است.

(جدول-۲): مدت زمان اجرای روشهای رفع اعوجاج هندسی
(Table-2): Computation time for considered de-warping methods

مدت زمان اجرا (بر حسب ثانیه)	روش
430	روشن شامقلی به کمک الگوریتم DCLM [5]
270	روشن شامقلی به کمک عملگر گسترش [5]
140	روشن پیشنهادی

در روشن شامقلی جداسازی خطوط توسط دو روشن^۱ و استفاده از عملگر گسترش انجام می‌شود، البته مدت زمان اجرای روشن شامقلی با الگوریتم DCLM همان‌طور که در جدول (۲) مشاهده می‌کنید، بسیار بیشتر از مدت زمان اجرای روشن شامقلی با عملگر گسترش است. با این حال روشن پیشنهادی سریع‌تر از روشن شامقلی با هر دو روشن جداسازی خطوط است.

به‌منظور محاسبه کمّی، درصد صحّت کلمات بر روی مجموعه تصاویر پایگاه داده خسروی راد محاسبه شده است [3].[9].

از بین ۲۹۸۸۰ کلمه تعداد ۳۹۱۴ کلمه اشتباه تشخیص داده شده است. با توجه به نتایج که در جدول (۳) برای متون فارسی آورده شده، مشخص است که روشن پیشنهادی از دقّت قابل قبولی برخوردار است. برای سنجش این دقّت، تصاویر رفع اعوجاج شده توسط نرم‌افزار پرشیا نگار به فایل متن تبدیل شده، سپس درصد دقّت صحّت (R) طبق رابطه (۶) محاسبه می‌شود [10].

$$R = 100 * \frac{\#Words - \#MisWords}{\#Words} \quad (6)$$

که در این رابطه #Words تعداد کل کلمات موجود در متن و #MisWords تعداد کل کلماتی بوده که به درستی توسط نرم‌افزار تشخیص داده نشده است. در محاسبه درصد دقّت صحّت ذکر این نکته ضروری است که با توجه به این که

^۱ Dynamic Local Connectivity Map

سرعت بالاتری دارد، دقّت را نیز افزایش داده است. البته روش پیشنهادی به تنها ی قادر به رفع اعوجاج اسناد دارای اجزای گرافیکی نبوده ولی با استفاده از روش‌های رایج استخراج اجزای گرافیکی از تصویر، می‌تواند اعوجاج این نوع اسناد را نیز برطرف کند.

۴- نتیجه‌گیری و پیشنهادها

در این مقاله به منظور تصحیح اعوجاج هندسی پس از استخراج خطوط از تصویر، هر خط به چندین نوار عمودی تقسیم می‌شود. در هر نوار با چرخش تصویر، مختصات نقطه‌ای که مقدار افکنش افقی آن بیشینه است، ذخیره می‌شود. انحنای هر خط به کمک این مجموعه نقاط توسط یک تابع درجه سه مشخص می‌شود. درنهایت با استفاده از تخمین تبدیل پرسپکتیو، اعوجاج هندسی هر خط برطرف می‌شود. همچنین به منظور تشخیص انحنای خطوط با طول می‌شود. با مقایسه نتایج مشخص شد که دقّت و سرعت روش پیشنهادی مناسب است.

با توجه به الگوریتم پیشنهادی، کارهای زیر برای ادامه و بهبود این کار پیشنهاد می‌شوند:

ارزیابی روش پیشنهادی بر روی خطوط دست‌نویس فارسی و انگلیسی و مقایسه نتایج با روش‌های رایج که سعی می‌شود دو نوع اعوجاج فوتومتریک و هندسی این اسناد برطرف شود.

ارتقای روش پیشنهادی برای رفع اعوجاج هندسی اسناد دارای اجزای گرافیکی با استفاده از روش‌های رایج استخراج اجزای گرافیکی از تصویر و برطرف کردن اعوجاج هندسی این اسناد.

ارتقای روش پیشنهادی برای رفع اعوجاج هندسی اسناد دوستونه که برای این کار ابتدا باید خطوط بهدرستی تشخیص داده شوند و پس از آن اعوجاج هندسی هر خط برطرف شود.

افزایش وفقی طول هر نوار در موقعي که تعداد حروف کمی در آن نوار قرار گرفته باشد. برای این کار زمانی که تعداد پیکسل‌های مشکی در یک نوار از یک مقدار آستانه‌ای کمتر باشد، طول نوار به صورت خودکار افزایش می‌یابد. این کار به تشخیص دقیق‌تر انحنای هر خط می‌تواند بیانجامد.

(جدول-۴): دقّت شناسایی کلمات در متون انگلیسی

(Table-4): The accuracy of word recognition on English texts

روش	درصد دقّت شناسایی کلمات
روش [8] SEG	94.9811
روش [14] SKEL	98.6324
روش شامقلی [20]	99.3622
روش پیشنهادی	99.3814

اسناد الکترونیکی در شکل (۱۴) نشان داده شده‌اند که نتایج روش پیشنهادی و سایر روش‌ها در تصاویر ۱۵ تا ۱۷ نمایش داده شده است.

در تصویر (۱۵ الف، ب و ج) به ترتیب نتایج روش‌های شامقلی، خسروی راد و روش پیشنهادی، بر روی تصویر (۱۴-الف) نشان داده شده است. همان‌طور که مشاهده می‌شود، نتایج روش پیشنهادی و شامقلی از روش خسروی راد بسیار مناسب‌تر بوده و این با نتایج جدول (۳) سازگاری دارد.

در شکل (۱۶) قسمتی از نتیجه تصویر (۱۵ ب و ج) توسط نرم‌افزار پرشیانگار نشان داده شده است. همان‌طور که مشاهده می‌کنید، نتیجه روش پیشنهادی در رفع اعوجاج هندسی مناسب است.

در شکل (۱۷) نتیجه روش پیشنهادی و سه روش شامقلی، SEG و SKEL برای تصویر (۱۴ ج) را مشاهده می‌کنید. با مشاهده این تصاویر به خصوص نواحی مشخص شده، معلوم می‌شود که دقّت روش پیشنهادی در رفع اعوجاج هندسی مناسب است. نتایج روش پیشنهادی برای تصاویر (۱۴ ب و د) در شکل (۱۸) نشان داده شده است.

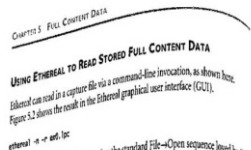
نکته دیگری که برتری روش پیشنهادی نسبت به روش شامقلی را نشان می‌دهد، این است که روش پیشنهادی نواحی مرزی حروف را به خوبی استخراج می‌کند و نوافه مرز قلم در کلمات نسبت به روش شامقلی کمتر است. این موضوع با مشاهده شکل (۱۹) بهتر درک می‌شود.

در تصویر ۲۰ نتیجه نرم‌افزار OmniPage برای قسمتی از متن تصاویر (۱۷ ج و د) نشان داده شده است. کلمات مشخص شده نمونه‌ای از کلماتی است که در آن روش پیشنهادی نسبت به روش شامقلی برتری داشته است.

در مقایسه با روش شامقلی که بالاترین دقّت را در میان سایر روش‌های مورد مقایسه دارد، روش پیشنهادی علاوه بر آنکه

فصل ی





Using Ethereal to Read Stored Full Content Data
Ethereal can read in a capture file via a command-line invocation, as shown here. Figure 5.3 shows the result in the Ethereal graphical user interface (GUI).
ethereal -r eth1.pcap

Ethereal can open a trace using the standard File—Open sequence issued by GUI fans. We're going to look at the end-of-file trace and search for evidence of the UDP traffic during the reference intrusion model in Chapter 4. Once the trace is loaded, we must use a different filter syntax to focus our analysis efforts. To see traffic to or from port 7783 UDP, for example, we do port == 7783 in the Filter field at the bottom of the main window, as shown in Figure 5.3.

The entire trace displayed in Figure 5.3 shows an odd UDP packet. The content of the application data reads `0x00 0x00 0x00 0x00`, followed by `0x00`. This is the normal

sent from the MikroTik DDNS master daemon running on 172.17.20.5 to the MikroTik

For Ethereal, DCFM provides a set of interfaces that model the various HTML controls. For example, you can use the `getDocument`, `getForm`, `getFrame`, `getIFrame`, and the `getTable` methods to access the document object. The `getForm` method performs a similar function to the `getFormByName` method in the `HTMLFormElement` class (in the `HTMLFormElement` class, the `getFormByName` method is used to get form elements by name). The `getForm` method is used to get the first form element in the document, and so can be used in any other `DOM` methods like `document`.

However, it's worth noting that the `HTMLFormElement` methods are only used in the `getFormByName` method. These allow developers to work with `HTML` and `web` pages in a way that makes sense to them. The `getForm` method is used to get the first form element in the `HTMLFormElement` class, and so can be used in any other `DOM` methods like `document`.

For example, if you want to get the first form element in the `HTMLFormElement` class, you would use the `getForm` method.

Object and Event

When you are in DOM Level 3, besides these creation and management operations, you probably already used most of the `createElement()` and `createDocumentType()` methods. These are now in the `DOMImplementation` class, and so can be used in the `DOMImplementation` class. The `createDocument()` methods used in the `DOMImplementation` class are also DOM Level 2 additions. Other than that, there isn't much new in the DOM API. You can find more information about the DOM API in the complete list of changes online at <http://www.w3.org/TR/2000/REC-DOM-Level-2-Corrigendum-000111/changes.html>. The rest of the changes are the additional modules, one of which I'll cover next.

DOM Level 3

Before closing the book on DOM and looking at a common question, I will spend a little time letting you know what's coming in DOM Level 3, which is underway right now. In fact, I expect the specifications to be finalized early in 2002, not long

زین بدن می‌خواهیم چند راه برای این خواسته را پیشنهاد کنیم
۱۳۲۷ خوشبیدی چون مقرر بود، میهمانان مصری و همراهان عروس
به وسیله راه آهن جنوب به تهران وارد شوند از طرف دربار و
شهریاری دستور اکید صادر شده بود که دیوارهای تمام دهات طول
را و خانه‌های دهقانی مجاور خط آهن را سفید کنند.

در یکی از دهات چون گچ در دسترس نبود بخشدار دستور می‌دهد
که با کشک و ماست که در آن ده فراوان بوده دیوارها را موقتاً سفید
نمایند، و به این منظور با بولی که از کددخانی ده می‌گیرند و با خرد

منزار زیادی ماست کلیه دیوارها را ماست مالی کردن.

قدمت تاریخی این اصطلاح ماست مالی از شخصت سال نمی‌گذرد، و
ماجرای این ماست مالی مدت ها موضوع اصلی شوختی‌های محلی و

مجالس بود. حکیم ارد بزرگ می‌گوید: فرماتروایان تنها با سخنگوی
زمان حال خوبیش نیستند آنها به گذشتگان و آیندگان نیز پاسخگو
ستند.

در یکی از دهات چون گچ در دسترس نبود بخشدار دستور می‌دهد
که با کشک و ماست که در آن ده فراوان بوده دیوارها را موقتاً سفید
نمایند، و به این منظور با بولی که از کددخانی ده می‌گیرند و با خرد

منزار زیادی ماست کلیه دیوارها را ماست مالی کردن.

قدمت تاریخی این اصطلاح ماست مالی از شخصت سال نمی‌گذرد، و
ماجرای این ماست مالی مدت ها موضوع اصلی شوختی‌های محلی و

مجالس بود. حکیم ارد بزرگ می‌گوید: فرماتروایان تنها با سخنگوی
زمان حال خوبیش نیستند آنها به گذشتگان و آیندگان نیز پاسخگو
ستند.

الف(A)

شکل-۱۴: نمونه‌هایی از استناد دارای اعوجاج هندسی الف (و) پایگاه داده‌ی خسروی راد [3] ج (و) پایگاه داده‌ی DFKI [19]

(Figure-14): Examples for documents with geometric distortion A,B) Khosravi Rad's database[3] C,D) DFKI database [19]

نهنگام عروسی محمد رضا شاه پهلوی و زن مصری اش فوزیه در سال
۱۳۲۷ خوشبیدی چون مقرر بود، میهمانان مصری و همراهان عروس
به وسیله راه آهن جنوب به تهران وارد شوند از طرف دربار و
شهریاری دستور اکید صادر شده بود که دیوارهای تمام دهات طول
را و خانه‌های دهقانی مجاور خط آهن را سفید کنند.
در یکی از دهات چون گچ در دسترس نبود بخشدار دستور می‌دهد
که با کشک و ماست که در آن ده فراوان بوده دیوارها را موقتاً سفید
نمایند، و به این منظور با بولی که از کددخانی ده می‌گیرند و با خرد
منزار زیادی ماست کلیه دیوارها را ماست مالی کردن.

قدمت تاریخی این اصطلاح ماست مالی از شخصت سال نمی‌گذرد، و
ماجرای این ماست مالی مدت ها موضوع اصلی شوختی‌های محلی و

ماجرای این ماست مالی مدت ها موضوع اصلی شوختی‌های محلی و
مجالس بود. حکیم ارد بزرگ می‌گوید: فرماتروایان تنها با سخنگوی
زمان حال خوبیش نیستند آنها به گذشتگان و آیندگان نیز پاسخگو
ستند.

نهنگام عروسی محمد رضا شاه پهلوی و زن مصری اش فوزیه در سال
۱۳۲۷ خوشبیدی چون مقرر بود، میهمانان مصری و همراهان عروس
به وسیله راه آهن جنوب به تهران وارد شوند از طرف دربار و
شهریاری دستور اکید صادر شده بود که دیوارهای تمام دهات طول
را و خانه‌های دهقانی مجاور خط آهن را سفید کنند.

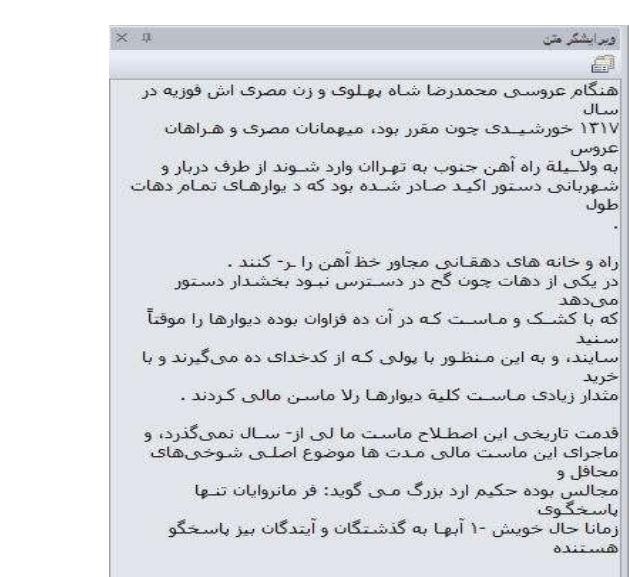
در یکی از دهات چون گچ در دسترس نبود بخشدار دستور می‌دهد
که با کشک و ماست که در آن ده فراوان بوده دیوارها را موقتاً سفید
نمایند، و به این منظور با بولی که از کددخانی ده می‌گیرند و با خرد
منزار زیادی ماست کلیه دیوارها را ماست مالی کردن.

قدمت تاریخی این اصطلاح ماست مالی از شخصت سال نمی‌گذرد، و
ماجرای این ماست مالی مدت ها موضوع اصلی شوختی‌های محلی و

ماجرای این ماست مالی مدت ها موضوع اصلی شوختی‌های محلی و
مجالس بود. حکیم ارد بزرگ می‌گوید: فرماتروایان تنها با سخنگوی
زمان حال خوبیش نیستند آنها به گذشتگان و آیندگان نیز پاسخگو
ستند.

الف(A)

(شکل-۱۵): نتایج رفع اعوجاج هندسی تصویر (۱۴ الف) الف) روش خسروی راد [3] ب) روش شامقلى [5] ج) روش پیشنهادی (Figure-15): Results for de-warping geometric distortion (Fig. 14-A) A) Khosravi Rad's method[3] B) Shamgholi's method[5] C) the proposed method



الف(A)

(شکل-۱۶): خروجی نرم افزار پرسپکتیو نگار تصویر (۱۵ ب، ج) الف) روش شامقلى [5] ب) روش پیشنهادی

(Figure-16): Word recognition using PERSHIA NEGAR OCR software (Fig. 15-B,C) A) de-warping using Shamgholi's method [5] B)
de-warping using the proposed method

For HTML, DOM provides a set of interfaces that model the various HTML elements. For example, you can use the `HTMLDocument` class, the `HTMLAnchorElement`, and the `HTMLSelectElement` (all in the `org.w3c.dom.html` package) to represent their analogs in HTML (`<HTML>`, `<A>`, and `<SELECT>` in this case). All of these provide convenience methods like `setTitle()` (on `HTMLDocument`), `setHref()` (on `HTMLAnchorElement`), and `getOptions()` (on `HTMLSelectElement`). All of these extend core DOM structures like `Document` and `Element`, and so can be used as any other DOM Node could.

However, it turns out that the HTML bindings are rarely used (at least directly). It's not because they aren't useful; instead, many tools have already been written to provide this sort of access through even more user-friendly tools. XMLEC, a project within the Enhydra application server framework, is one such example (located online at <http://xmlc.enhydra.org>), and Cocoon, covered in Chapter 10, is another. These allow developers to work with HTML and web pages in a way that does not necessarily require even basic DOM knowledge, making it more accessible to web designers and newer Java developers. The end result of using these tools is that the HTML DOM bindings are rarely needed. But if you know about them, you can use them if you need to. Additionally, you can use standard DOM functionality on well-formed HTML documents (XHTML), treating elements as `Element` nodes and attributes as `Attr` nodes. Even without the HTML bindings, you can use DOM to work with HTML. Piece of cake.

Odds and Ends

What's left in DOM Level 2 besides these modules and namespace-awareness? Very little, and you've probably already used most of it. The `createDocument()` and `createDocumentType()` methods are new to the `DOMImplementation` class, and you've used both of them. Additionally, the `getSystemId()` and `getPublicId()` methods used in the `DOMSerializer` class on the `DocumentType` interface are also DOM Level 2 additions. Other than that, there isn't much; a few new `DOMEexception` error code constants, and that's about it. You can see the complete list of changes online at <http://www.w3.org/TR/2000/REC-DOM-Level-2-Core-20001113/changes.html>. The rest of the changes are the additional modules, one of which I'll cover next.

DOM Level 3

Before closing the book on DOM and looking at common gotchas, I will spend a little time letting you know what's coming in DOM Level 3, which is underway right now. In fact, I expect this specification to be finalized early in 2002, not long

For HTML, DOM provides a set of interfaces that model the various HTML elements. For example, you can use the `HTMLDocument` class, the `HTMLAnchorElement`, and the `HTMLSelectElement` (all in the `org.w3c.dom.html` package) to represent their analogs in HTML (`<HTML>`, `<A>`, and `<SELECT>` in this case). All of these provide convenience methods like `setTitle()` (on `HTMLDocument`), `setHref()` (on `HTMLAnchorElement`), and `getOptions()` (on `HTMLSelectElement`). All of these extend core DOM structures like `Document` and `Element`, and so can be used as any other DOM Node could.

However, it turns out that the HTML bindings are rarely used (at least directly). It's not because they aren't useful; instead, many tools have already been written to provide this sort of access through even more user-friendly tools. XMLEC, a project within the Enhydra application server framework, is one such example (located online at <http://xmlc.enhydra.org>), and Cocoon, covered in Chapter 10, is another. These allow developers to work with HTML and web pages in a way that does not necessarily require even basic DOM knowledge, making it more accessible to web designers and newer Java developers. The end result of using these tools is that the HTML DOM bindings are rarely needed. But if you know about them, you can use them if you need to. Additionally, you can use standard DOM functionality on well-formed HTML documents (XHTML), treating elements as `Element` nodes and attributes as `Attr` nodes. Even without the HTML bindings, you can use DOM to work with HTML. Piece of cake

Odds and Ends

What's left in DOM Level 2 besides these modules and namespace awareness? Very little, and you've probably already used most of it. The `createDocument()` and `createDocumentType()` methods are new to the `DOMImplementation` class, and you've used both of them. Additionally, the `getSystemId()` and `getPublicId()` methods used in the `DOMSerializer` class on the `DocumentType` interface are also DOM Level 2 additions. Other than that, there isn't much; a few new `DOMEexception` error code constants, and that's about it. You can see the complete list of changes online at <http://www.w3.org/TR/2000/REC-DOM-Level-2-Core-20001113/changes.html>. The rest of the changes are the additional modules, one of which I'll cover next.

DOM Level 3

Before closing the book on DOM and looking at common gotchas, I will spend a little time letting you know what's coming in DOM Level 3, which is underway right now. In fact, I expect this specification to be finalized early in 2002, not long

(B)

For HTML, DOM provides a set of interfaces that model the various HTML elements. For example, you can use the `HTMLDocument` class, the `HTMLAnchorElement`, and the `HTMLSelectElement` (all in the `org.w3c.dom.html` package) to represent their analogs in HTML (`<HTML>`, `<A>`, and `<SELECT>` in this case). All of these provide convenience methods like `setTitle()` (on `HTMLDocument`), `setHref()` (on `HTMLAnchorElement`), and `getOptions()` (on `HTMLSelectElement`). All of these extend core DOM structures like `Document` and `Element`, and so can be used as any other DOM Node could.

However, it turns out that the HTML bindings are rarely used (at least directly). It's not because they aren't useful; instead, many tools have already been written to provide this sort of access through even more user-friendly tools. XMLEC, a project within the Enhydra application server framework, is one such example (located online at <http://xmlc.enhydra.org>), and Cocoon, covered in Chapter 10, is another. These allow developers to work with HTML and web pages in a way that does not necessarily require even basic DOM knowledge, making it more accessible to web designers and newer Java developers. The end result of using these tools is that the HTML DOM bindings are rarely needed. But if you know about them, you can use them if you need to. Additionally, you can use standard DOM functionality on well-formed HTML documents (XHTML), treating elements as `Element` nodes and attributes as `Attr` nodes. Even without the HTML bindings, you can use DOM to work with HTML. Piece of cake.

Odds and Ends

What's left in DOM Level 2 besides these modules and namespace-awareness? Very little, and you've probably already used most of it. The `createDocument()` and `createDocumentType()` methods are new to the `DOMImplementation` class, and you've used both of them. Additionally, the `getSystemId()` and `getPublicId()` methods used in the `DOMSerializer` class on the `DocumentType` interface are also DOM Level 2 additions. Other than that, there isn't much; a few new `DOMEexception` error code constants, and that's about it. You can see the complete list of changes online at <http://www.w3.org/TR/2000/REC-DOM-Level-2-Core-20001113/changes.html>. The rest of the changes are the additional modules, one of which I'll cover next.

DOM Level 3

Before closing the book on DOM and looking at common gotchas, I will spend a little time letting you know what's coming in DOM Level 3, which is underway right now. In fact, I expect this specification to be finalized early in 2002, not long

(D)

(الف)

For HTML, DOM provides a set of interfaces that model the various HTML elements. For example, you can use the `HTMLDocument` class, the `HTMLAnchorElement`, and the `HTMLSelectElement` (all in the `org.w3c.dom.html` package) to represent their analogs in HTML (`<HTML>`, `<A>`, and `<SELECT>` in this case). All of these provide convenience methods like `setTitle()` (on `HTMLDocument`), `setHref()` (on `HTMLAnchorElement`), and `getOptions()` (on `HTMLSelectElement`). All of these extend core DOM structures like `Document` and `Element`, and so can be used as any other DOM Node could.

However, it turns out that the HTML bindings are rarely used (at least directly). It's not because they aren't useful; instead, many tools have already been written to provide this sort of access through even more user-friendly tools. XMLEC, a project within the Enhydra application server framework, is one such example (located online at <http://xmlc.enhydra.org>), and Cocoon, covered in Chapter 10, is another. These allow developers to work with HTML and web pages in a way that does not necessarily require even basic DOM knowledge, making it more accessible to web designers and newer Java developers. The end result of using these tools is that the HTML DOM bindings are rarely needed. But if you know about them, you can use them if you need to. Additionally, you can use standard DOM functionality on well-formed HTML documents (XHTML), treating elements as `Element` nodes and attributes as `Attr` nodes. Even without the HTML bindings, you can use DOM to work with HTML. Piece of cake.

Odds and Ends

What's left in DOM Level 2 besides these modules and namespace-awareness? Very little, and you've probably already used most of it. The `createDocument()` and `createDocumentType()` methods are new to the `DOMImplementation` class, and you've used both of them. Additionally, the `getSystemId()` and `getPublicId()` methods used in the `DOMSerializer` class on the `DocumentType` interface are also DOM Level 2 additions. Other than that, there isn't much; a few new `DOMEexception` error code constants, and that's about it. You can see the complete list of changes online at <http://www.w3.org/TR/2000/REC-DOM-Level-2-Core-20001113/changes.html>. The rest of the changes are the additional modules, one of which I'll cover next.

DOM Level 3

Before closing the book on DOM and looking at common gotchas, I will spend a little time letting you know what's coming in DOM Level 3, which is underway right now. In fact, I expect this specification to be finalized early in 2002, not long

(ج)

شكل-۱۷: نتایج رفع اعوجاج هندسی تصویر (۱۴ ج) الف) روشن SEG [۸] ب) روشن SEG [۱۴] ج) روشن شامگلی [۲۰]

د) روشن پیشنهادی

(Figure-17): The result of word recognition using PERSHIA NEGAR software (Fig.14-C) A) de-warping using SEG method [8] B) de-warping using SKEL method [14] C) de-warping using Shamgholi's method [20] D) the proposed method

فصل سی

CHAPTER 5 FULL CONTENT DATA

USING ETHEREAL TO READ STORED FULL CONTENT DATA

Ethereal can read in a capture file via a command-line invocation, as shown here.

Figure 5.2 shows the result in the Ethereal graphical user interface (GUI).

```
ethereal -n -r em0.1pc
```

Ethereal can also open a trace using the standard File→Open sequence loved by GUI fans. We're going to look at the em0.1pc trace and search for evidence of the DDoS attack launched during the reference intrusion model in Chapter 4. Once the trace is loaded, we must use a different filter syntax to focus our analysis efforts. To see traffic to or from port 7793 UDP, for example, use `udp.port == 7793` in the Filter field at the bottom of the main window, as shown in Figure 5.3.

The output displayed in Figure 5.3 shows an odd UDP packet. The content of the application data reads `mstream/172.27.20.2/10`, followed by `0x0a`. This is the command sent from the Mstream DDoS master daemon running on 172.27.20.5 to the Mstream

لذت بردن می خوانم چهاذبه‌ی همان دنیای دیگری که پیشتر یاد کردم. شاید بتوان این کار را فرار از واقعیت گذاشت. آدم حتی اگر بتواند در عالم خیال از غصه‌های زندگی روزمره فرار کند و زمانی را در دنیای دیگر بگذراند خوب است مین شانزده تا بیست و شش سالگی، خواندن برای من امری حیاتی بود برای اینکه بتوانم خودم را بازم، برای خودم کسی بشوم، آگاهی‌هایم را بیشتر کنم و بدین ترتیب به روحش شکل بدهم. در واقع، می خواستم بدانم باید چه جور آدمی بشوم؟ معنای زندگی و دنیا چیست؟ بقدر می توانم فکرم را، علاقئم را، رویاهایم را و افق‌های را که در ذهن داشتم گسترش دهم؟ وقتی زندگی، رویاغا و

(B) ب

(الف) الف

شکل-۱۸: نتایج روش پیشنهادی (الف) تصویر ۱۴ ب (B) تصویر ۱۴ د (D)

(Figure -18): The result of proposed method A) Fig.14-B B) Fig. 14-D

الف(A)

been written

ب(B)

been written

شکل-۱۹: قسمتی از شکل‌های ۱۷ ج و د (الف) روش شامقلی [20] ب) روش پیشنهادی (Figure -19): A part of image in Fig. 17-C, D Dusing A) Shamgholi's method [20] B) the proposed method

For HTML, DOM provides a set of interfaces that model the various HTML elements. For example, you can use the **HTMLDocument** class, the **HTMLAnchorElement**, and the **HTMLSelectElement** (all in the `org.w3c.dom.html` package) to represent their analogs in HTML (`<HTML>`, `<A>`, and `<SELECT>` in this case). All of these provide convenience methods like `setTitle()` (on **HTMLDocument**), `setHref()` (on **HTMLAnchorElement**), and `getOptions()` (on **HTMLSelectElement**). All of these extend core DOM structures like **Document** and **Element**, and so can be used as any other DOM **Node** could.

However, it turns out that the HTML bindings are rarely used (at least directly). It's not because they aren't useful; instead, many tools have already been written to provide this sort of access through even more user-friendly tools. XMLC, a project within the Enhydra application server framework, is one such example (located online at <http://xmlc.enhydra.org>), and Cocoon, covered in Chapter 10, is another. These allow developers to work with HTML and web pages in a way that does not necessarily require even basic DOM knowledge, making it more accessible to web designers and newer Java developers. The end result of using these tools is that the HTML DOM bindings are rarely needed. But if you know about them, you can use them if you need to. Additionally, you can use standard DOM functionality on well-formed HTML documents (XHTML), treating elements as **Element** nodes and attributes as **Attr** nodes. Even without the HTML bindings, you can use DOM to work with HTML. Piece of cake.

(الف)

For HTML, DOM provides a set of interfaces that model the various HTML elements. For example, you can use the **HTMLDocument** class, the **HTMLAnchorElement**, and the **HTMLSelectElement** (all in the `org.w3c.dom.html` package) to represent their analogs in HTML (`<HTML>`, `<A>`, and `<SELECT>` in this case). All of these provide convenience methods like `setTitle()` (on **HTMLDocument**), `setHref()` (on **HTMLAnchorElement**), and `getOptions()` (on **HTMLSelectElement**). All of these extend core DOM structures like **Document** and **Element**, and so can be used as any other DOM **Node** could.

However, it turns out that the HTML bindings are rarely used (at least directly). It's not because they aren't useful; instead, many tools have already been written to provide this sort of access through even more user-friendly tools. XMLC, a project within the Enhydra application server framework, is one such example (located online at <http://xmlc.enhydra.org>), and Cocoon, covered in Chapter 10, is another. These allow developers to work with HTML and web pages in a way that does not necessarily require even basic DOM knowledge, making it more accessible to web designers and newer Java developers. The end result of using these tools is that the HTML DOM bindings are rarely needed. But if you know about them, you can use them if you need to. Additionally, you can use standard DOM functionality on well-formed HTML documents (XHTML), treating elements as **Element** nodes and attributes as **Attr** nodes. Even without the HTML bindings, you can use DOM to work with HTML. Piece of cake.

(ب)

(شکل-۲۰-): خروجی نرم افزار OmniPage بر روی شکل ۱۷-ج، د (الف) نتیجه روش شامقلی [20] ب) نتیجه روش پیشنهادی (Figure-20): OmniPage software Output on Fig 17-C,D using A) Shamgholi's method [20] B) the proposed method

- [5] M.Shamgholi," Distortion correction and Image enhancement in Persian Books" M.S. thesis, Shahrood ut, Shahrood ,Iran ,2013.
- [6] M.A. Tolou Beydokhti and A. Ahmadyfard " Removing Photometric Distortion in Persian documentary images using Improved Inpainting", Sixth Conference on Information and Knowledge Technology. Shahrood ut, Shahrood ,Iran,2014.
- [7] A. Criminisi, I. Reid, and A. Zisserman, "A Plane Measuring Device," University of Oxford, 1993.
- [8] B. Gatos, N. Pratikakis, and K. Ntirogiannis, "Segmentation Based Recovery of Arbitrarily Warped Document Images," in Ninth International Conference on Document Analysis and Recognition (ICDAR), 2007.
- [9] J. Kanai, T. A. Nartker, S. Rice, and G. Nagy, "Performance metrics for document understanding systems," in Proceedings of the Second International Conference on Document Analysis and Recognition, 1993, pp. 424-427.
- [10] H. Khosravi and E. Kabir, "A blackboard approach towards integrated Farsi OCR system," International Journal of Document Analysis and Recognition (IJDAR), vol. 12, pp. 21-32, 2009.
- [11] J. Liang, D. DeMenthon, and D. Doermann, "Geometric Rectification of Camera-captured Document Images," IEEE Transactions on Pattern Analysis and Machine Intelligence, vol. 30, no. 4, pp. 591-605, 2008.
- [12] L. Likforman-Sulem and F. Claudio, "Extracting text lines in handwritten documents by perceptual grouping," in Advances in handwriting and drawing: a multidisciplinary approach, paris, 1994, pp. 117-135.
- [13] L. Likforman-Sulem, A. Hanimyan, and C. Faure, "A Hough based algorithm for extracting text lines in handwritten documents," in IEEE Proceedings of the Third International Confer-

5-References

۵-مراجع

- [۱] ا. بایسته تاشک و ع. احمدی فرد و ح. خسروی ، "یک روش دو مرحله ای برای بازناسی کلمات دست نوشته فارسی به کمک بلوک بندی تطبیقی گرادیان تصویر" ، پردازش علائم و داده ها ، دوره ۱۳۹۴ ، صفحات ۱۵-۲۹ .
- [1] E. bayesteh Tashak,A. Ahmadyfard and H. Khosravi "A two-step method for recognizing Persian handwritten words using adaptive division of gradient image" , JSDP, vol 12,PP 15-29 ,2015.
- [۲] ح. حسن پور و ع. رستمی قادی" بهسازی تصویر با کاهش اثر عوامل خرابی بر مولفه هی روشنایی و بازتابش تصویر" ، پردازش علائم و داده ها، دوره ۹، صفحات ۲۳-۲۳ ، ۱۳۹۱ .
- [2] H. Hasanpour and O. Rostami Ghadi " Image enhancement By Reducing the effect of failure factors on Intensity And reflection of the image"JSDP, vol 9, PP 12-23,2012.
- [۳] س. خسروی راد" رفع اعوجاجات غیرخطی در تصاویر اسناد فارسی" ، پایان نامه ی ارشد، دانشگاه صنعتی شاهرود، شاهرود، ایران، ۱۳۹۱ .
- [3] S.KhosraviRad, "Nonlinear distortion correction in Persian documentary images" ,M.S. thesis, Shahrood ut, Shahrood ,Iran ,2012.
- [۴] ه. ده بودیم، ف. رزازی و ش. علیرضایی" ارائه روشی نوین برای کاهش اعوجاج تصویربرداری در تصاویر متنی فارسی تصویربرداری شده توسط دوربین" ، ششمین کنفرانس ماشین بینایی و پردازش تصاویر، اصفهان، ایران، ۱۳۸۹ .
- [4] H. Dehboyd, F. Razazi, Sh. Alirezei "Introducing a new method for reducing image distortion in Persian text images captured by the camera" Sixth Conference of the Machine and Image Processing, Esfahan, Iran,2010.
- [۵] م.شامقلی" رفع اعوجاج و بهبود کیفیت تصاویر اسکن شده از کتب فارسی" ، پایان نامه کارشناسی ارشد، دانشگاه صنعتی شاهرود، شاهرود ، ایران، ۱۳۹۲ .

- [24] K. Y.Wong, R. G. Casey, and F. M. Wahl, "Document analysis system," *IBM journal of research and development* , vol. 26, no. 6, pp. 647-656, Nov. 1982.

[25] OmniPage. [Online]. <http://www.nuance.com>



محمد امین طلوع بیدختی مدرک
 کارشناسی خود را در رشته مهندسی
 الکترونیک از دانشگاه صنعتی شاهرود
 در سال ۱۳۹۱ دریافت کرده است.
 ایشان مدرک کارشناسی ارشد خود را
 نیز ارسال ۱۳۹۳ در رشته الکترونیک
 دیجیتال در همان دانشگاه اخذ کرده‌اند.
 زمینه‌های پژوهشی وی پردازش تصویر، پردازش سیگنال و
 شناسایی آماری الگو است.

نشانی رایانمۀ ایشان عبارت است از:

M.a.Tolou.b@Gmail.com



علیرضا احمدی فرد مدرک
 کارشناسی را از دانشگاه صنعتی اصفهان
 در مهندسی الکترونیک و کارشناسی
 ارشد را از دانشگاه صنعتی امیرکبیر در
 مهندسی مخابرات اخذ کرده‌اند. ایشان
 مدرک دکترای تخصصی را در زمینه
 پردازش تصویر و ماشین بینایی از مرکز CVSSP دانشگاه
 Surrey در سال ۲۰۰۲ اخذ کردند.
 زمینه‌های پژوهشی پژوهشی مورد علاقه دکتر احمدی فرد تشخیص و
 آشکارسازی اشیا در تصاویر، تشخیص عیوب کالا در خط تولید،
 تشخیص هویت از روی بیومتریک‌ها و انطباق تصاویر است. در
 حال حاضر ایشان عضو هیئت‌علمی دانشگاه صنعتی شاهرود
 می‌باشند.

نشانی رایانمۀ ایشان عبارت است از:

Ahmadyfard@Shahroodut.ac.ir

ence on Document Analysis and Recognition, 1995, pp. 774-777.

- [14] A. Masalovitch and L. Mestetskiy, "Usage of continuous skeletal image representation for document images de-warping," in Proceedings of International Workshop on Camera-Based Document Analysis and Recognition, Curitiba, 2007, pp. 45-53.

- [15] J. Mundy and A. Zisserman, Geometric invariance in computer vision. Cambridge, MA : MIT press, 1992, vol. 92.

- [16] W. Niblack, "An introduction to digital image processing," Strandberg Publishing Company, 1985.

- [17] A. H. Roger and C. R. Johnson, "Topics in matrix analysis," in Matrix analysis. Cambridge university press, 2012.

- [18] J. Sauvola and M. Pietikainen, "Adaptive document image binarization," Pattern Recognition, vol. 32, no. 2, pp. 225-236, 2000.

- [19] F. Shafait and M. Breuel, "Document image dewarping contest," in 2nd Int. Workshop on Camera-Based Document Analysis and Recognition, Curitiba, Brazil, 2007, pp. 181-188.

- [20] M. Shamgholi, M. H. Khosravi, and S. M. Riazi, "Document Image Dewarping Based on Text Line Detection and Surface Modeling," International Journal of Engineering-Transactions C: Aspects, vol. 27, no. 12, p. 1855, 2014.

- [21] Z. Shi and V. Govindaraju, "Line separation for complex document images using fuzzy runlength," in IEEE Proceedings in First International Workshop on Document Image Analysis for Libraries, 2006, pp. 306-312.

- [22] A. Ulges, C. H. Lampert, and T. Breuel, "Document capture using stereo vision," in ACM Proceedings of the 2004 ACM symposium on Document engineering, 2004, pp. 198-200.

- [23] T. Wada, H. Ukida, and T. Matsuyama, "Shape from shading with interreflections under proximal Light Source-3D Shape Reconstruction of Unfolded Book Surface From a Scanner Image," in IEEE Proceedings in Fifth International Conference on Computer, 1995, pp. 66-71.

